

Ответственный редактор  
к.ф.-м.н. Н.Н. Кизилова

**«Современные проблемы математики и ее приложения в естественных науках и информационных технологиях».** Тезисы докладов международной конференции, г. Харьков, 17-22 апреля 2011 г. Под ред. проф. Г.Н.Жолткевича, доц. Н.Н.Кизиловой, доц. П.С.Кабалянца. – Х.: Вировец А.П. «Апостроф», 2011. - 257 стр.

Сборник содержит тезисы докладов, представленных на Международной конференции «Современные проблемы математики и ее приложения в естественных науках и информационных технологиях» (Харьков, 17-22 апреля 2011 г.), посвященной 50-летию механико-математического факультета.

Программный комитет

Борисенко А.А., Чуешов И.Д., Жолткевич Г.Н., Гандель Ю.В., Гордецкий В.Д., Кизилова Н.Н., Коробов В.И., Руткас А.Г., Фаворов С.Ю., Янцевич А.А.

Организационный комитет

Жолткевич Г.Н., Тарапова Е.И., Кизилова Н.Н., Кабалянец П.С., Бархаев П.Ю., Соляник Ю.В., Иванова М.А., Чистина Э.О.

Целью конференции является обмен новейшими результатами, полученными отечественными и зарубежными исследователями в области математики, механики и информатики, математического моделирования процессов и явлений в физико-механических, химико-биологических и технических системах.

Работа конференции организована по секциям:

1. Механика
2. Алгебра, логика и основания информатики
3. Геометрия и топология
4. Дифференциальные уравнения
5. Информационные технологии
6. Математическая физика
7. Математический анализ
8. Математическое моделирование
9. Теория функций

© Механико-математический факультет,  
Харьковский национальный университет  
им. В.Н. Каразина, 2011 г.

СОДЕРЖАНИЕ

СЕКЦИЯ «МЕХАНИКА»

Geramy A., Kizilova N. FEM Modeling in Dentistry.....11	Васильева Л.Я., Жук Я.О. Аналіз термомеханічних процесів у локально опромінену сталевому диску з врахуванням мікроструктурних перетворень.....28
Hamadiche M., Kizilova N., Klepikov V. Fluid-Structure Interaction Problems in Nanofluid MEMS Devices.....12	Ветров О.С. Асимптотические представления в задачах динамики ортотропных пластин и оболочек.....29
Kizilova N., Szekeles A. Biothermohygro-mechanics: Biomimetic Composites with Optimal Properties.....13	Волкова О.С., Гашенко И.Н. Точные решения уравнений движения гиростата вокруг неподвижной точки.....30
Meleshko V.V. Axisymmetric Vortex Rings Interactions in an Inviscid Fluid.....14	Воропай А. В. Нестационарные колебания прямоугольной пластины с установленным на ней амортизатором.....31
Nikishov V.I., Gorodetska N.S., Pihur S.V., Oleksiuk V.V., Tkachenko I.V. Development of longitudinal vortices in boundary layer over Curved surface.....14	Воропай Н.И., Янютин Е.Г. Нестационарное деформирование упругого пространства с цилиндрической полостью.....32
Skorikov A. B. Magnetohydrodynamic Frictional Units.....15	Гаев Е.А. Теория легкопроницаемой шероховатости для задач техники и окружающей среды.....33
Tropina A.A. Plasma Assisted Combustion Modeling.....15	Гаев Е.А., Бердник О.М. Сравнительный анализ алгебраических моделей турбулентности для легкопроницаемой шероховатости в каналах и трубах.....34
Авраменко О.В., Рижняк Г.Р. Динамічне рівняння стохастичних амплітуд у двошаровій рідині.....16	Гирька Ю. В. Анализ устойчивости и управляемости летательного аппарата с использованием присоединенных масс.....34
Адашевский В.М. Исследования студентов НТУ "ХПИ" в биомеханике спорта.....17	Гнесин В.И., Колодяжная Л.В. Численное моделирование аэроупругого поведения лопаточных венцов осевого компрессора в трехмерном потоке газа.....35
Александров Д.Ю. Нелинейный жидкий осциллятор.....17	Годованная Н.В., Господарев И.А., Котляр А.В., Кравченко К.В., Манжелей Е.В., Сыркин Е.С., Феодосьев С.Б. Квазичастичные спектры содержащих дефекты нанобъектов на основе углерода.....36
Банникова Е.Ю., Конторович В.М., Пославский С.А. Движение кольцевых вихрей в центральном радиальном потоке.....18	Голубев Г.В. Нелинейные задачи теории фильтрации.....37
Бауэр С.М., Ермаков А.М., Каштанова С.В., Морозов Н.Ф. О деформации многослойных асбестовых нанотрубок с наполнителем.....19	Городецкая Н.С., Соболев Т.В. Влияние двухфазности среды на свойства поверхностной волны Стоунли.....38
Безнос А. С. Решение динамических задач для твердых тел с упругими связями.....19	Грибкова В.П., Новосельская Л.В. Исследование процесса обработки расплава металла низкотемпературной азотной плазмой.....38
Белова Ю.А., Потапов Д.Ю. Исследование динамики кровотока артериальной системы почки человека.....20	Григоренко А.Я., Пузырев С.В. Исследование свободных колебаний некруговых цилиндрических оболочек на основе метода сплайн-коллокации.....39
Беспалова О.И., Урусова Г.П. Динамічна стійкість оболонок обертання знакозмінної кривизни при періодичних навантаженнях.....20	Григоренко Я.М., Авраменко О.А. Исследование влияния угла раствора конуса на напряженно-деформированное состояние нетонких конических оболочек.....40
Бобылев Д.Е., Масько Л.В. Эффективная регуляризация метода граничных элементов при моделировании многосвязных областей с тонкими или малыми элементами структуры.....21	Гризун М.Н., Ершов С.В. Метод Ньютона в неявной разностной схеме для уравнений газовой динамики.....41
Борисов Д.И., Руднев Ю.И., Яценко Т.Ю. Ветвление равновесных форм свободной поверхности намагничивающейся капиллярной жидкости.....22	Гуртовий О.Г. Порівняльний функціональний аналіз уточнених моделей шаруватих пластин.....41
Борисов И.Д., Руднев Ю.И., Яценко Т.Ю. Ветвление равновесных форм свободной поверхности намагничивающейся капиллярной жидкости.....22	Гуртовий О.Г., Тинчук С.О. Аналіз напруженого стану багатошарового покриття на жорсткій основі.....42
Босьяков С. М., Юркевич К. С. Анализ перемещений зуба в костной ткани под действием сосредоточенной нагрузки.....23	Денина О.В. Об идентификации полости в цилиндре.....43
Бреславский И.Д. Колебания тонких пластин с учетом геометрической и физической нелинейности.....24	Деревянко А.И., Ершов С.В. Численное моделирование ламинарно-турбулентного перехода.....44
Будников Н. А., Тимченко Г. Н. Исследование нелинейных колебаний многослойных пластин.....24	
Бурлаенко В. М., Садовський Т., Назаренко С.О. Моделювання динамічної поведінки пластин з композиційного матеріалу, які містять деламінацію.....25	
Ван Чживэй Влияние затухания на параметрическую устойчивость конструктивно анизотропных оболочек.....26	
Васильев К.В., Сулим Г.Т. Півсфера зі стрічковими неоднорідностями за антиплоскої деформації.....27	

Несвит Е. В. Оптимальное управление дискретными дескрипторными системами с квадратичным критерием качества.....232  
 Павлов П.А. Конкурирующие процессы при ограниченном числе копий программного ресурса.....232  
 Паточкин Б.В., Посухов В.С., Тимченко Н.М. Статистическая проверка генераторов случайных чисел.....233  
 Петренко О. Е., Фролов О.С. Математичне моделювання складової процесу побудови параметрів для криптографічних перетворень.....234  
 Пигнастый О.М. Статистическая двухуровневая модель технологического процесса.....235  
 Радуй А.А., Зеленцов Д.Г. Применение нейросетевых моделей при расчете корродирующих конструкций.....236  
 Резуенко В.А., Бондарева Т.А., Воробьев Р.С. Расчёт поля плоской акустической волны, рассеянной жестким сферическим сегментом с нагрузкой.....237  
 Резуенко В.А., Москалец Е.В., Комышан И.В. Электростатический потенциал горизонтальных диполей в присутствии сферических поверхностей.....237  
 Ручкин К.А. Компьютерные методы исследования в задачах хаотической динамики.....238

СЕКЦИЯ «ТЕОРИЯ ФУНКЦИЙ»

Bilavska S. I. Bounded elementary divisor domains of stable range 1.....247  
 Афанасьева Е. С. Интегральные условия продолжимости отображений на границу.....247  
 Балгимбаева Ш.А. Восстановление оператора дифференцирования на классах гладких периодических функций.....248  
 Димитрова-Бурлаенко С.Д. Непрерывность производной в более слабой топологии.....249  
 Климентов С.Б. Краевая задача Римана-Гильберта в классах Харди, Смирнова и ВМО для обобщенных аналитических функций.....250  
 Ковтонюк Д.А., Петков И.В., Рязанов В.И. О граничном поведении регулярных решений уравнений Бельтрами.....251  
 Ломачко Т.В. О компактности классов регулярных решений уравнений Бельтрами.....251

Сарухания Г. Э., Лазурик В. Т. Моделирование выхода тормозного излучения от электронных пучков с широким спектром.....239  
 Слепцов В.Б. Оценка вероятности неразрешения страховых компаний.....240  
 Трончук А.А., Угрюмов М.Л. Применение эволюционных методов для решения многокритериальных задач стохастической оптимизации.....240  
 Уваров Б. В. Оценка погрешности метода упорядоченной минимизации риска.....241  
 Федюк Р.С. Современная математическая модель теплопередачи через ограждающие конструкции здания.....241  
 Филипповская М. С. О продолжении решений полулинейного вырожденного уравнения.....242  
 Цейтлин Н. А., Горбач А. Н. Анализ спонтанных последовательностей и регрессионных моделей в экспериментальных исследованиях.....243  
 Целуйко А.Ф., Лазурик В.Т., Рогов Ю.В., Боргун Е.В., Рябчиков Д.Л. Компьютерное моделирование направленности излучения плотных плазменных образований.....245  
 Яковенко Г.Н. Алгебраическая модель взаимодействия популяций.....246

Новиков О.А., Ровенская О.Г., Шулик Т.В. Приближение классов интегралов Пуассона г-повторными суммами Валле Пуссена.....252  
 Перетяткин Ф.Г. Некоторое обобщение краевой задачи Римана-Гильберта.....253  
 Рыкова О.В. О распределении дискриминантов и расстояний между корнями целочисленных многочленов.....254  
 Севостьянов Е.А. О нормальных семействах отображений с неограниченной характеристикой квазиконформности.....254  
 Столякин Ф.С. Предельная форма свойства Радона-Никодима для векторных зарядов.....255  
 Хвошинская Л.А. Решение одной задачи определения системы двух аналитических функций по заданной группе монодромии.....256  
 Шепельская В. Д. Плюс-минус свойство как обобщение свойства Даугавета.....257

СЕКЦИЯ «МЕХАНИКА»

FEM MODELING IN DENTISTRY

Geramy A.<sup>1</sup>, Kizilova N.<sup>2</sup>

<sup>1</sup> Tehran University of Medical Sciences, Iran  
<sup>2</sup> V.N.Karazin Kharkov National University, Ukraine

Finite element analysis (FEM) is widely used in dentistry for detailed 3D modelling of the stress-strain state of the upper and lower jaws and teeth in their realistic complex interaction with bone and soft tissues, fillings and pins, artificial crowns and orthodontic apparatus. The orthodontic procedures, teeth fillings and load-bearing artificial implants can be virtually modelled first and vast computer simulations and analyses for clinical prognosis and treatment prescription can be carried out using FEM technique. Here a brief review of the FEM modelling in dentistry is given and some results obtained by the authors are presented.

**1. Orthodontic tooth movement.** Orthodontic Treatment steps may be roughly divided into: Leveling & Aligning; Canine Retraction; Anterior Retraction and Midline Correction; Posterior Space Closure; Ideal tooth Positioning and Finishing; Settlement; Retention. Different types of tooth movement are planned in treating orthodontic cases: tipping, bodily movement and root movement. The ratio of moment to force determines the type of tooth movement which varies between teeth and types of tooth movement. The favorite M/F ratio needed to produce bodily movement is modified by bone loss, tooth orientation and some other factors. A series of numerical results on the tooth movement are presented in the paper.

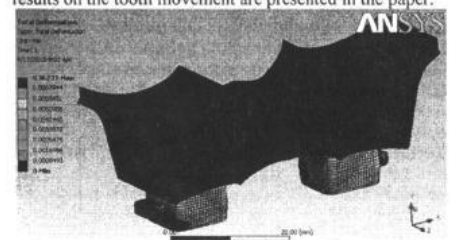


Fig.1. FEM computations of the tooth displacement during the orthodontic treatment.

**2. Modeling of osseointegration.** Tooth implants are widely used in dentistry and detailed 3D modelling of the complex system bone with a load-bearing artificial implant, stress-strain computations, computer simulations and analyses for clinical prognosis and treatment prescription are mainly based on finite element method (FEM). Structure and mechanical properties of the bone-implant interface influence the implant anchorage and stress-strain distribution in the system. Most failures, either physiological or mechanical, are initiated from the interfacial region. Despite the high success rates reported in literature, time dependent marginal bone resorption around implants is often unavoidable and is observed in practice. Clinical studies have reported significant bone loss around the implant neck that leads to the implant failure, and the bone loss occurrence is determined by

biomechanical factors which thus have to be studied thoroughly. According to histological studies a close physical adaptation of the bone tissue to the surfaces of the threaded, surface-roughened and porous-coated implants is observed in a few months after implantation. The growing and developing bone produces protuberances around the implant surface which can be modelled as it is depicted in fig.2. The direct structural and functional connection between the bone and the implant surface is called osseointegration (OI), which is determined as both apparent direct attachment and connection of osseous tissue to an implant without intervening connective tissue and the interface between the bone and the implant. Influence of the OI development on tooth strength and displacement at given external load has been studied by the authors on a series of models.

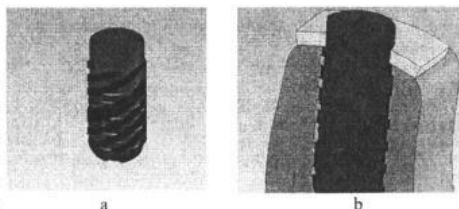


Fig 2. Model of OI (a) and a tooth embedded into the solid and soft tissues(b).

**3. Asymmetrical head gears.** The asymmetrical headgears are useful orthodontic devices for the unilateral distalisation of molars or for the correction of a unilateral anchorage loss. Here the asymmetry of the innerbow of the head gear produced by asymmetric molar dislocation is studied. It is shown the function of an asymmetrical face-bow can be increased or decreased by eccentric bendings. According to the geometry at the outer-bows the force at the outer-bow is divided at a different percentage onto the molars. The shifting and rotating components of the forces produced by the head gear are computed both analytically and numerically by FEM analysis.

Two finite element models of cervical headgears with asymmetric inner bows (fig.3) were designed in SolidWorks 2006. Models were meshed in ANSYS Workbench Ver. 11.0. A 150-gram force was applied at each side of the outer bow after model transfer to ANSYS Ver. 11.0. Inner bow ends were restrained and force results were derived.

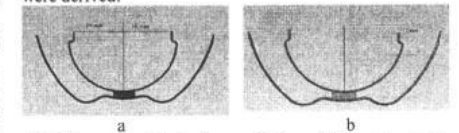


Fig.3. An asymmetric headgear with 2 mm difference in medio-lateral (a) and mesio-distal (b) position of molars.

и триплетами чисел; математическое ожидание и дисперсия всех ГСЧ тоже соответствовали ожидаемым результатам; остальные данные по проверкам генераторов требуют дополнительного анализа.

**МАТЕМАТИЧНЕ МОДЕЛЮВАННЯ СКЛАДОВОЇ ПРОЦЕСУ ПОБУДОВИ ПАРАМЕТРІВ ДЛЯ КРИПТОГРАФІЧНИХ ПЕРЕТВОРЕНЬ**

Петренко О. Е., Фролов О. С.

Харківський інститут банківської справи, м. Харків, Україна, Харківський національний університет радіоелектроніки, м. Харків, Україна

Існування сучасного документообігу неможливо без використання інформаційних технологій. Вимоги, що висунути до сучасного ділового спілкування – це конфіденційність, цілісність та автентичність інформації, яка передається електронними мережами. Забезпечити дані вимоги можливо використовуючи криптографічні перетворення в групах точок еліптичних кривих. Перспективність їх застосування полягає в тому, що вони спроможні забезпечити рівень складності, застосовуючи параметри, довжини яких в 8 разів менше модуля перетворення параметрів криптографічних перетворень в полях та кільцях. Застосування еліптичних кривих не набуло поширеного використання в порівнянні з перетвореннями в полях та кільцях. Пов'язано це з недосконалістю алгоритмів виконання операцій в групах точок даних кривих, що привело до порушення співвідношення прийнятної обчислювальної складності методів та швидкодії їх програмних реалізацій.

Робота по вдосконаленню методів здійснення перетворень на еліптичних кривих в напрямку зменшення їх обчислювальної складності є актуальною як у світі, так і в Україні. Перший етап вказаних перетворень – це етап побудови загальносистемних параметрів. Обчислення порядку еліптичної кривої є трудомісткою складовою цього етапу, особливо тоді, коли необхідно застосовувати еліптичні криві, що визначені на полях характеристики два, ступень розширення яких  $n$  перебільшує 617.

Метою роботи є створення елементарної моделі побудови загальносистемних параметрів криптографічних систем, які використовують еліптичні криві, що визначені на полях  $GF(2^n)$ , де  $n$  перебільшує 617, а саме найскладнішого з етапів – обчислення порядку кривої.

Протягом останнього часу питаннями, що пов'язані з розробкою методів обчислення порядку еліптичної кривої, займалися Р. Скуф [1], Т. Сато [2], Ф. Морейн, Р. Ласиєр [3]. Дані роботи були присвячені розробці методів обчислення порядку будь-якої еліптичної кривої. Недоліками методів [1, 3] є те, що їх програмні реалізації мають низку швидкодії, коли обираються поля, ступень розширення яких перебільшує 431. Перспективним методом, який спроможний обчислювати порядки еліптичних кривих в полі, ступень розширення якого перебільшує 617, є метод, наведений в роботі [4]. Головний недолік методу [4] полягає в тому, що за його допомогою можливо обчислювати порядки еліптичних кривих, які визначені в розширенні поля 2-адичних сілх. Побудова загально-

системних параметрів здійснюється при застосуванні еліптичних кривих, які визначені в полі  $GF(2^n)$ . З огляду на це, запропонована математична модель методу обчислення порядку кривої, що дозволяє використовувати рівняння еліптичної кривої  $E$ , що визначена на полі  $GF(2^n)$ , здійснити її канонічне підняття до еліптичної кривої  $E'$ , яка визначена  $Q_{2^n}$  за допомогою  $j$ -ого інваріанта  $j_E$ . На відміну від метода [2] в запропонованому методі для здійснення підняття використовується лема Гензеля, за допомогою якої знаходять розв'язок лише одного порівняння виду:  $\Phi_2(j_E, x) \equiv 0 \pmod{2^k, f(x)}$ . Початковим коренем для ітерацій є значення  $j_E$ . Ітераційний процес здійснюється з 2-адичною точністю  $k$ , яка визначає кількість елементів частинної суми ряду  $\sum_{i=0}^{+\infty} a_i 2^i$ , де  $a_i$  приймають значення або нуль або один. Далі визначаємо послідовність за наступними правилами:  $a_0 = 1 + 8\alpha, b_0 = 1, a_{i+1} = (a_i + b_i)/2, b_{i+1} = \sqrt{a_i b_i}$ , де  $\alpha \in Q_{2^n}$  та є коефіцієнтом рівняння еліптичної кривої  $E'$ . За допомогою даної послідовності обчислюється значення сліду відображення ендоморфізма Фробеніуса  $trFr$ . Обчислення порядку еліптичної кривої  $\#E$  здійснено за формулою  $\#E = 2^n + 1 - trFr$ , де  $n$  - ступень розширення поля, на якому визначена крива.

Запропонована математична модель, що покладена в основу методу обчислення порядку кривої, дозволяє обчислювати порядки еліптичних кривих, що визначені на полях  $GF(2^n)$ , де  $n$  перебільшує 617. При цьому кількість операцій множення, що необхідно виконати для обчислення порядку еліптичної кривої запропонованим методом, дорівнює  $n^2/2 + 6n$ , а кількість операцій множення при застосуванні вдосконаленого методу Сато дорівнює  $13n^2/2 + 10n$ , де  $n$  - ступень розширення поля, на якому визначена крива. В результаті зменшується час, який необхідно витратити для обчислення порядку кривої при програмній реалізації методу, що, в свою чергу, дозволяє генерувати загальносистемні параметри на полях, ступень розширення яких перебільшує 617.

**ЛІТЕРАТУРА**

- Schoof R. Counting points on an elliptic curve over finite fields // Proc. Journées Arithmétiques. – 1995. – № 93. – P. 219-252.
- Saitoh T. Canonical lifting of elliptic curves and p-adic point counting. (theoretical background) // Department of Mathematics, Faculty of Science, Saitama University. – 2001. – P. 1-21.
- Lersier R. Counting the number of points on an elliptic curve over finite fields: strategies and performance // Proc. Eurocrypt. – 1995. – P. 101-116.
- Mestre J. Moyenne arithmétique – gémérique p-adique // C.R. Acad. Sci. Paris Ser. I Math. – 1989. – № 13 – P 391-395.

**СТАТИСТИЧЕСКАЯ ДВУХУРОВНЕВАЯ МОДЕЛЬ ТЕХНОЛОГИЧЕСКОГО ПРОЦЕССА**

Пигнастый О.М.

НТУ «ХПИ», Харьков, Украина

Моделирование производственно-технических систем (ПТС) является эффективным методом их исследования [2,3]. Распространенный класс образуют ПТС, где детерминированный характер технологических процессов сочетается с их стохастической природой. Закономерности функционирования ПТС во многом подобны тем, которые имеются в термодинамических системах. Они столь глубоки и полезны, что провозглашены в качестве общих принципов: Ле Шателье-Самуэльсона, Карно-Хикса и др.[2]. На основании этих принципов технологический процесс ПТС с серийным или массовым выпуском продукции может быть представлен в виде стохастического процесса [1,3].

**Предметно-технологическая модель ПТС.** Состояние ПТС определим как состояние числа  $N$  базовых продуктов. Под базовым продуктом (БП) или предметом труда понимается элемент ПТС, на который при выполнении технологической операции переходит стоимость труда, материалов и орудий труда в ходе воздействия оборудования. Поведение БП определяется закономерностями технологического процесса. Состояние БП будем описывать наблюдаемыми на микроуровне микропараметрами: суммой затрат  $S_j$  (грн) и затрат в единицу времени  $\mu_j$  (грн/час), перенесенными оборудованием на  $j$ -й БП. Состояние ПТС определено, если известны  $S_j, \mu_j$ , а в любой момент времени найдено из уравнений состояния БП:

$$dS_j/dt = \mu_j, \quad d\mu_j/dt = f_j(t, S), \quad 0 < j < N, \quad (1)$$

где  $f_j(t, S)$  - производственная функция ПТС [2]. Если количество БП много больше единицы, то решить систему из  $2N$ -уравнений практически невозможно, что требует перехода от микроописания ПТС к макроописанию с элементами вероятностной природы. Вместо рассмотрения состояния ПТС с микропараметрами  $S_j$  и  $\mu_j$ , введем функцию распределения БП  $\chi(t, S, \mu)$  в фазовом технологическом пространстве (ФТП)

$$\int_0^{\infty} \int_0^{\infty} d\mu \cdot \chi(t, S, \mu) = N. \quad (2)$$

Условие нормировки (2) представляет закон сохранения числа БП в производственном процессе. **Кинетическое уравнение ПТС.** Разобьем ФТП  $(S, \mu)$  на такое число ячеек, чтобы размеры ячейки  $\Delta S \cdot \Delta \mu$  были достаточно малы и содержали внутри себя большое число БП. Состояние БП задается точкой в ФТП. Вместо того, чтобы фиксировать точные значения микропараметров БП, будем приближенно характеризовать состояние ПТС числом БП в каждой ячейке  $\Delta S \cdot \Delta \mu$ . Так как, величина  $\chi \cdot dS \cdot d\mu$  представляет число БП в бесконечно малой ячейке  $\Delta S \cdot \Delta \mu$ , мы можем по изменению фазовой координа-

ты  $S$  и фазовой скорости  $\mu$  со временем судить об изменении самой функции  $\chi$  [4]:

$$\frac{\partial \chi}{\partial t} + \frac{\partial \chi}{\partial S} \cdot \mu + \frac{\partial \chi}{\partial \mu} \cdot f = J(t, S, \mu), \quad \frac{dS}{dt} = \mu, \quad \frac{d\mu}{dt} = f(t, S) \quad (3)$$

Генераторная функция  $J(t, S, \mu)$  определяется характеристиками технологического процесса [4], стремится при  $t \rightarrow \infty$  свести распределение БП в ФТП к равновесному. Производственная функция  $f(t, S)$  есть аналог силы, перемещающий БП по технологической цепочки. При таком перемещении оборудование воздействует на БП, изменяя его качественно и количественно. Мы можем говорить о вероятности того, что после воздействия со стороны оборудования БП будет находиться в том или ином состоянии. Процесс воздействия оборудования на БП обозначим  $\psi(\mu)$ , где  $\mu$  - скорость изменения затрат, которую принимает БП после воздействия. Функция  $\psi(\mu)$  определяется паспортными данными оборудования. Свойства  $\psi(\mu)$  могут быть получены из общих соображений, представляя вероятность перехода в любое состояние равную единице:

$$\int_0^{\infty} \psi(\mu) \cdot d\mu = 1. \quad (4)$$

Число БП, испытывавших в единицу времени воздействие со стороны оборудования, есть произведение потока  $\chi(t, S, \mu) \cdot \mu$  на вероятность для БП испытать воздействие в элементе  $dS \cdot d\mu$ . Вероятность испытания воздействия пропорциональна плотности расположения оборудования  $\lambda(S)$  вдоль технологической цепочки. Число БП, испытывавших в единицу времени воздействие со стороны оборудования и принимавшие значения в пределах  $(\bar{\mu}; \bar{\mu} + d\bar{\mu})$  есть  $\psi(\bar{\mu}) \cdot \lambda(S) \cdot \mu \cdot \chi(t, S, \mu) \cdot d\bar{\mu} \cdot dS \cdot d\mu$ . В элемент  $dS \cdot d\mu$  поступают БП с  $dS \cdot d\bar{\mu}$  путем обратного перехода:  $\psi(\mu) \cdot \lambda(S) \cdot \bar{\mu} \cdot \chi(t, S, \bar{\mu}) \cdot d\bar{\mu} \cdot dS \cdot d\mu$ , а общее число БП в элементе  $dS \cdot d\mu$  изменяется в единицу времени на величину  $dS \cdot d\mu \cdot J$ :

$$J = \lambda(S) \cdot \int_0^{\infty} \{ \psi(\mu) \cdot \bar{\mu} \cdot \chi(t, S, \bar{\mu}) - \psi(\bar{\mu}) \cdot \mu \cdot \chi(t, S, \mu) \} d\bar{\mu} \quad (5)$$

В большинстве практических случаях функция  $\psi(\mu)$  не зависит от состояния БП до испытания воздействия со стороны технологического оборудования, откуда с учетом свойства (4):

$$\frac{\partial \chi}{\partial t} + \frac{\partial \chi}{\partial S} \cdot \mu + \frac{\partial \chi}{\partial \mu} \cdot f = \lambda(S) \cdot \{ \psi(\mu) \cdot [\chi]_1 - \mu \cdot \chi \} \quad (6)$$

**Потоковая модель ПТС.** Нулевой  $[\chi]_0$  и первый  $[\chi]_1$  моменты функции распределения имеют производственную интерпретацию: задель  $[\chi]_1$  и их темп движения вдоль технологической цепочки. Умножив уравнение (6) на  $\mu^k$ ,  $k = 0, 1, 2, \dots$  и проинтегрировав по всему диапазону  $\mu$ , получим незамкнутые уравнения баланса БП в ПТС [2]:

$$\frac{d[\chi]_k}{dt} + \frac{\partial [\chi]_{k+1}}{\partial S} = k \cdot f \cdot [\chi]_{k-1} + \int_0^{\infty} \mu^k \cdot J \cdot \int_0^{\infty} \chi \cdot d\mu = [\chi]_k \quad (7)$$



Возможность получить замкнутую систему уравнений основана на свойствах функции  $\psi(\mu)$  и наличии малого параметра  $Kv \ll 1$  [1,2], характеризующих ПТС. В нулевом приближении по параметру  $Kv \ll 1$  из уравнения балансов (7) может быть получена замкнутая многомерная система уравнений ПТС

$$\frac{\partial[x]_0}{\partial t} + \frac{\partial[x]_k}{\partial s} = 0; \quad \frac{\partial[x]_k}{\partial t} + \frac{\partial[x]_{k+1}}{\partial s} = k \cdot f \cdot [x]_{k-1}, \quad k = 1, 2, \dots \quad (8)$$

Уравнения балансов ПТС (8) в одномоментном описании представляют собой уравнения системной динамики [3].

ЛИТЕРАТУРА

1. Пигнастый О.М. Статистическая теория производственных систем. Х.: ХНУ, 2007г. – 388 с.  
 2. Рушицкий Я.Я., Милованов Т. С. Модифицирована модель Филіса-Лоренца для економічної системи. / Доповіді НАНУ. 1997. №12, С.36-40  
 3. Форрестер Д. Основы кибернетики предприятия. М.: Прогресс, 1961. – 341 с.

ПРИМЕНЕНИЕ НЕЙРОСЕТЕВЫХ МОДЕЛЕЙ ПРИ РАСЧЕТЕ КОРРОДИРУЮЩИХ КОНСТРУКЦИЙ

\*Радуй А.А., Зелениц Д.Г.

ГВУЗ «Украинский государственный химико-технологический университет», Днепропетровск

Значительная часть строительных конструкций в период эксплуатации подвергается воздействию высокоагрессивных сред, вызывающих повреждение сооружений и даже выход их из строя. Особенно это относится к промышленным объектам, где жидкая и газообразная окружающая среда, контактирующая со строительными конструкциями, является загрязненной продуктами и отходами производства, что приводит к ускоренному разрушения стальных конструкций.

Для большинства высокоагрессивных сред характерно то, что механические напряжения существенно влияют на скорость коррозионного процесса. В этом случае поведение конструкции в агрессивной среде моделируется путем численного решения задачи Коши для системы дифференциальных уравнений (СДУ), описывающих процесс коррозии в ее элементах [1]. Это приводит, с одной стороны, к существенному усложнению алгоритма решения задачи долговечности, и особенно – оптимального проектирования, с другой – к тому, что погрешность получаемого решения с трудом поддается прогнозированию.

Использование искусственных нейронных сетей (ИНС) при решении задач строительной механики корродирующих конструкций позволяет в некоторых случаях решить данные проблемы.

Основной проблемой при численном решении задачи Коши для СДУ, описывающих коррозионный процесс, является правильный выбор шага интегрирования таким образом, чтобы при минимальных вычислительных затратах он обеспечивал заданную точность вычислений.

При решении задачи долговечности корродирующих конструкций значение шага интегрирования предлагается определять с помощью специально обученной ИНС. Массив учебных образцов для настройки сети

генерируется с использованием аналитических формул и известных численных алгоритмов решения задачи Коши для СДУ. На модельных задачах авторами показано, что правильно обученная ИНС позволяет вычислять шаг интегрирования СДУ, удовлетворяющий сформулированным выше требованиям, на основе информации о параметрах агрессивной среды, начальных напряжениях, геометрических характеристиках элементов и заданной погрешности вычислений.

Предлагается адаптация алгоритма метода скользящего допуска для решения задачи оптимизации корродирующих конструкций с использованием ИНС для определения шага интегрирования в зависимости от требуемой точности на различных этапах решения задачи.

Обосновывается возможность использования ИНС при решении задачи долговечности корродирующей плосконапряженной пластины с круговым вырезом. Для определения долговечности пластины в существующих работах используется конечно-элементная модель, позволяющая учесть изменение напряжений и толщины пластины по ее области и во времени [2]. Такой подход предполагает наличие соответствующего программного обеспечения и оставляет открытым вопрос о погрешности полученного решения. Показано, что для решения данной задачи может быть использована аналитическая формула, определяющая долговечность корродирующей пластины в случае, если напряжения постоянны по ее области. В этом случае принимается гипотеза о том, что существует единственное значение скорости коррозии  $v$  ( $v > v_0$ ), при котором напряжение достигает предельного значения в любой точке пластины без выреза за то же время, что и в окрестности выреза исследуемой пластины. ИНС определяет коэффициент скорости коррозии  $f = v/v_0$ , как функцию начальной скорости коррозии, начальных напряжений, диаметра и толщины пластины.

При оптимизации сечения корродирующих балок установлено, что на размер сечения существенное влияние оказывает периметр сечения [3], причем его влияние возрастает по мере увеличения агрессивности среды. В [3] показана возможность сведения такой задачи к задаче оптимизации сечения без влияния агрессивной среды для обобщенной формулы, включающей периметр сечения с некоторым весовым коэффициентом, и последующее увеличение размеров на величину жертвенного слоя. Аппроксимация достаточно сложной зависимости весового коэффициента от параметров агрессивной среды с заданной точностью осуществляется с помощью ИНС. Полученные в этом случае решения точнее тех, что были получены с помощью аппроксимационных функций.

Таким образом, применение нейросетевых моделей в ряде задач расчета и оптимизации корродирующих конструкций позволяет лучше контролировать погрешности получаемых решений, сократить количество необходимых для решения итераций и упростить алгоритм расчета.

ЛИТЕРАТУРА

1. Зелениц Д.Г. Расчет конструкций с изменяющейся геометрией в агрессивных средах. Стержневые системы / Д.Г. Зелениц. – Днепропетровск: УГХТУ, 2002. – 168 с.

2. Зелениц Д.Г. Імітаційне моделювання процесу корозії в плосконапружених пластинах із круговим вирізом / Д.Г. Зелениц, О.А. Радуй. // Вісник Сумського державного університету. Технічні науки. – 2008. – № 4. – С. 126–131.  
 3. Зелениц Д.Г. Уточнение модели с двумя последовательными одноконтурными связями при решении задачи весовой оптимизации корродирующих балок / Зелениц Д.Г., Радуй А.А. // Системні технології. Регіональний міжвузівський збірник наукових праць. – Випуск 4 (63). – Дніпропетровськ, 2009. – С. 99–106.

РАСЧЕТ ПОЛЯ ПЛОСКОЙ АКУСТИЧЕСКОЙ ВОЛНЫ, РАССЕЯННОЙ ЖЕСТКИМ СФЕРИЧЕСКИМ СЕГМЕНТОМ С НАГРУЗКОЙ

\*Резунико В. А., \*Бондарева Т. А., \*Воробейв Р. С. ХНУ им. В. Н. Каразина, Харьков, Украина

В работе методом полуобращения матричного оператора построено решение задачи рассеяния плоской звуковой волны на мягкой сфере, экранированной жесткой сферой с круговым отверстием [1-3]. Мы рассматриваем задачу Неймана для уравнения Гельмгольца. Разместим начало сферической и декартовой систем координат в центр замкнутой поллой сферы радиуса  $a_0$  и поллой сферы с круговым отверстием радиуса  $a_1$ . Пусть ось OZ является осью симметрии структуры. Пусть на отверсти внешней сферы полярный угол  $\vartheta$  меняется на отрезке  $(\vartheta_0, \pi]$ . Для решения задачи пространство  $R^3$  разбиваем на три области:  $0 \leq r < a_0$ ,  $a_0 < r < a_1$ ,  $r > a_1$ . Отыскиваем полные поля во второй и в третьей областях, а в первой области  $0 \leq r < a_0$ , по определению, поле отсутствует. Потенциал скоростей плоской звуковой волны представим следующим рядом Фурье:

$$U_0 = \sum_{n=0}^{\infty} F_n j_n(kr) P_n(\cos \vartheta), \quad F_n = (-i)^n (2n+1), \quad r \in [0, \infty) \quad (1)$$

где  $j_n(kr)$  - сферические функции Бесселя первого рода в обозначениях Дебая аргумента  $kr$ ,  $k$  - волновое число,  $P_n(\cos \vartheta)$  - полиномы Лежандра первого рода аргумента  $\cos \vartheta$ . Вторичные потенциалы представим в виде ряда (1) с отыскиваемыми коэффициентами, в частности, в третьей области потенциал представим в следующем виде:

$$U_3 = \sum_{n=0}^{\infty} C_n F_n h_n^{(1)}(kr) P_n(\cos \vartheta), \quad r > a_1.$$

Коэффициенты рядов Фурье для потенциалов вторичных полей, должны принадлежать пространству числовых последовательностей  $\tilde{l}_2$ , обеспечивающему единственность решения задачи. Из граничных условий получаем систему парных функциональных уравнений в виде рядов по полиномам Лежандра. Для решения системы применим метод полуобращения матричного оператора. На первом шаге используем для полиномов Лежандра интегральные представления Мелера – Дирихле и связь полиномов с их производными. Этим приходим к однородным интегральным уравнениям Вольтерра I рода. Каждое из этих интегральных уравнений имеют единственное решение, которое является тригонометрическим рядом из

$L^2(0, \pi)$ . Затем, с помощью введения параметра малости

$$\varepsilon_n = 4i(ka_1)^3 \frac{h_n^{(1)}(ka_0) [j_n(ka_1)]' - j_n(ka_0) [h_n^{(1)}(ka_1)]'}{2n+1} \frac{[h_n^{(1)}(ka_1)]'}{h_n^{(1)}(ka_0)} \quad (2)$$

выделим обращаемую часть парных тригонометрических рядов. После некоторых преобразований (в том числе интегральных преобразований) получаем систему линейных алгебраических уравнений второго рода:

$$D_n = \frac{1}{\pi} \left\{ \sum_{m=0}^{\infty} D_m \varepsilon_m \beta_{n,m}(Q_0) + \sum_{m=0}^{\infty} 4i(ka_1)^3 \frac{F_n}{2n+1} \left( j_m(ka_1) - \frac{j_m(ka_0) h_m^{(1)}(ka_1)}{h_m^{(1)}(ka_0)} \right) \beta_{n,m}(Q_0) \right\} \quad (3)$$

где  $\beta_{n,m} = \frac{1}{2} \int_0^{\vartheta_0} \sin\left(n + \frac{1}{2}\right) y \sin\left(m + \frac{1}{2}\right) y dy, \quad n, m = 0, 1, 2, \dots$

Матричный оператор системы (3) является вполне непрерывным в  $\tilde{l}_2$ , что следует из оценки для параметра малости  $\varepsilon_n = O(n^{-2})$ ,  $n \rightarrow \infty$  и равномерной ограниченности  $\beta_{n,m}$  ( $n, m = 0, 1, 2, \dots$ ). Система (3) эффективно разрешима аналитически и численно.

В качестве тестовых вариантов решены задачи для предельных параметров постановки задачи и для них выполнено сравнение с известными результатами. В работе, в частности, выполняется расчёт распределения акустического потенциала в различных областях  $R^3$ , в том числе внутри сферической области, образованной замкнутой сферой и сферой с круговым отверстием.

ЛИТЕРАТУРА

1. Скучик Е. Основы акустики. –М.: Мир. –1976. –Т.2. –542 с.  
 2. Thomas D.P. Diffraction by a spherical cap. – Proc. Cambridge Philos. Soc. – 1963. – 59. – С. 197-209.  
 3. Резунико В. А. Рассеяние плоской волны сферой с круговым отверстием. // Электромагнитные волны и электронные системы. - 2005. - Т. 10. – В. 8. - С. 3-15.

ЭЛЕКТРОСТАТИЧЕСКИЙ ПОТЕНЦИАЛ ГОРИЗОНТАЛЬНЫХ ДИПОЛЕЙ В ПРЕСУТСТВИИ СФЕРИЧЕСКИХ ПОВЕРХНОСТЕЙ

\*Резунико В. А., \*Москалец Е. В., \*Комышан И. В. ХНУ им. В. Н. Каразина, Харьков, Украина

В работе методом регуляризации парных сумматорных функциональных уравнений построено решение задачи расчёта электростатического потенциала сферического сегмента, размещенного внутри секционированной замкнутой сферы в присутствии горизонтальных диполей [1-3]. Пусть центр сферического сегмента и центр экранирующей сферой секционированной сферы помещены в начало декартовой и сферической систем координат. Полагаем  $a_0$  – радиус сферического сегмента,  $\theta_0$  - полярный угол, измеряющий сегмент (на сегменте  $0 < \theta \leq \theta_0$ ). Пусть  $a_1$  – радиус секционированной сферы ( $a_1 > a_0$ ),  $V_0$  – заданный потенциал сферического сегмента. Сферический сег-